



$^{12}\text{Be}(\text{d},\text{p})$ 实验评估和模拟

报 告 人：李晓斌

指 导 老 师：陈洁、柳卫平



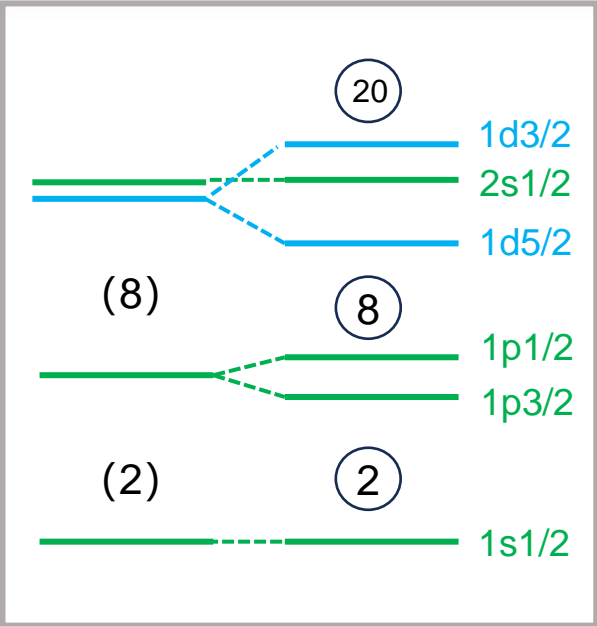
目录

一 研究背景

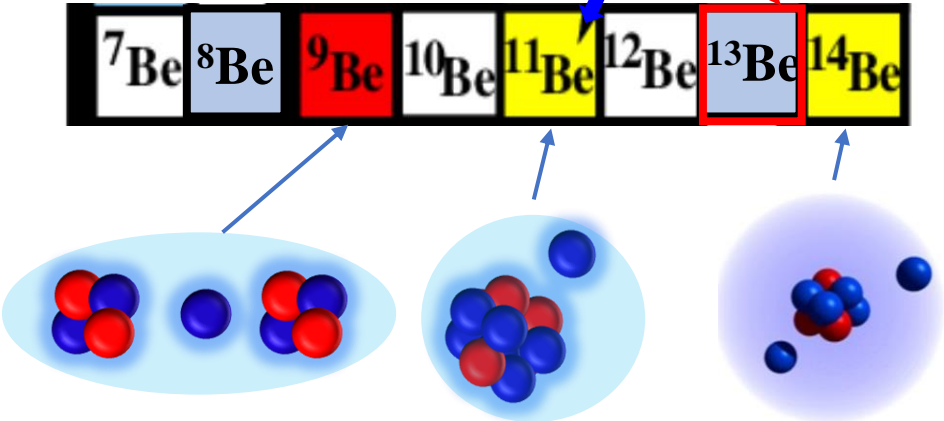
二 实验设置

三 实验模拟

四 总结

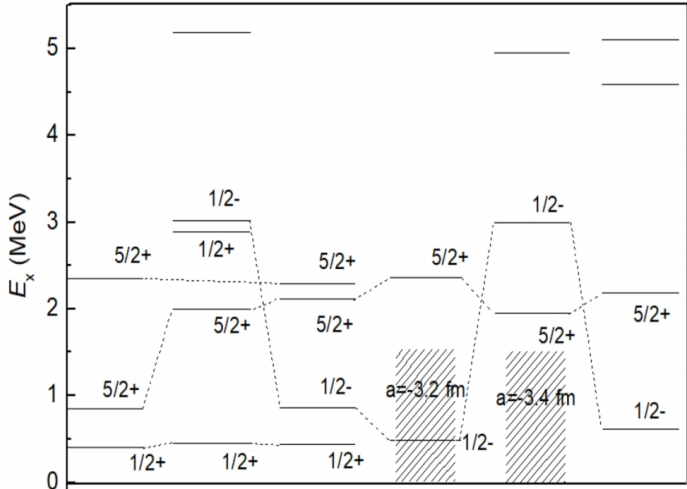
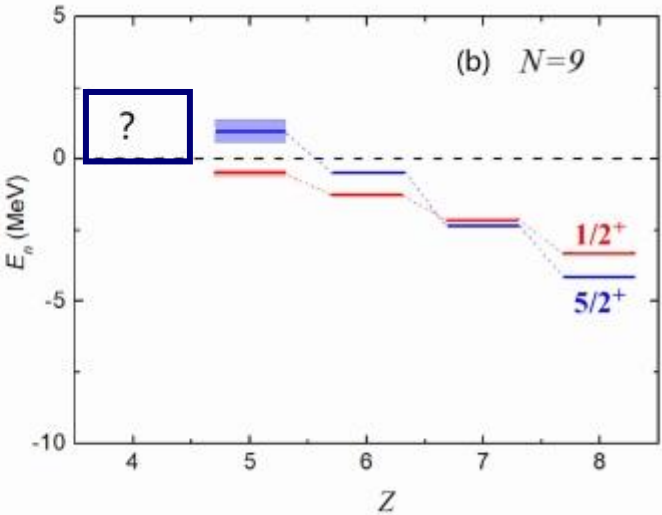
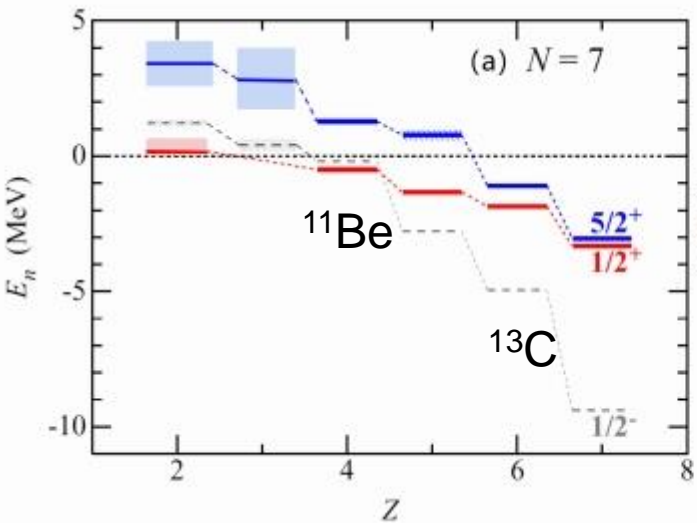


Be 同位素



$^{10}\text{Be}(0^+) \otimes n(2s_{1/2})$
 $^{10}\text{Be}(2^+) \otimes n(1d_{5/2})$

- 电荷交换
- 质子移除(^{14}B)
- 中子移除(^{14}Be)
- 中子增加(^{12}Be)



不同实验得到的 ^{13}Be 自旋宇称

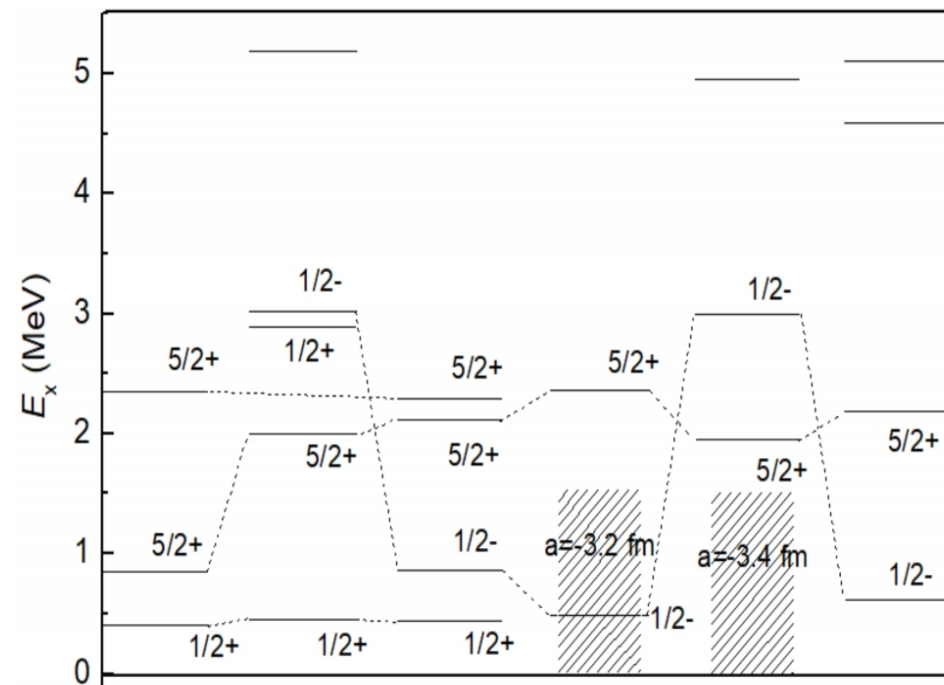
$^{12}\text{Be} (d, p)^{13}\text{Be}$

➤ ^{13}Be 激发态:

- 共振态自旋宇称 (0.5 MeV)?
- 谱因子和态宽度 (2 MeV), 核心激发成分的贡献?
- 可能的共振态(1 MeV)的自旋宇称?

➤ 其他反应道:

- $^{12}\text{Be}_{g,m}(d,t)$: 激发态数据的完善
- $^{12}\text{Be}_{g,m}(d,d)$: 光学模型参数的优化

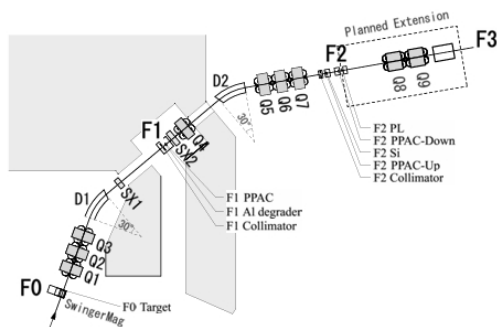


不同实验得到的 ^{13}Be 自旋宇称

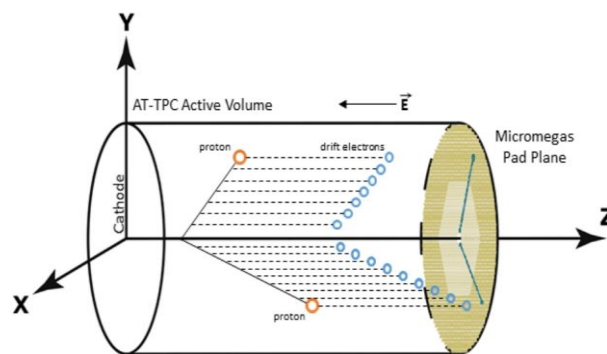
AT-TPC + EN-course

活性靶时间投影室

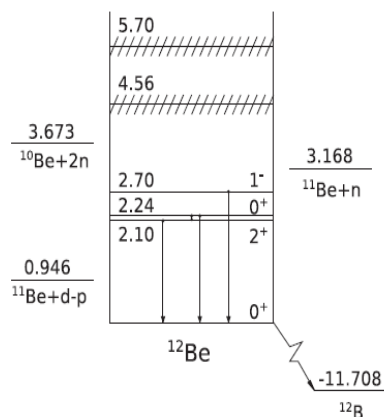
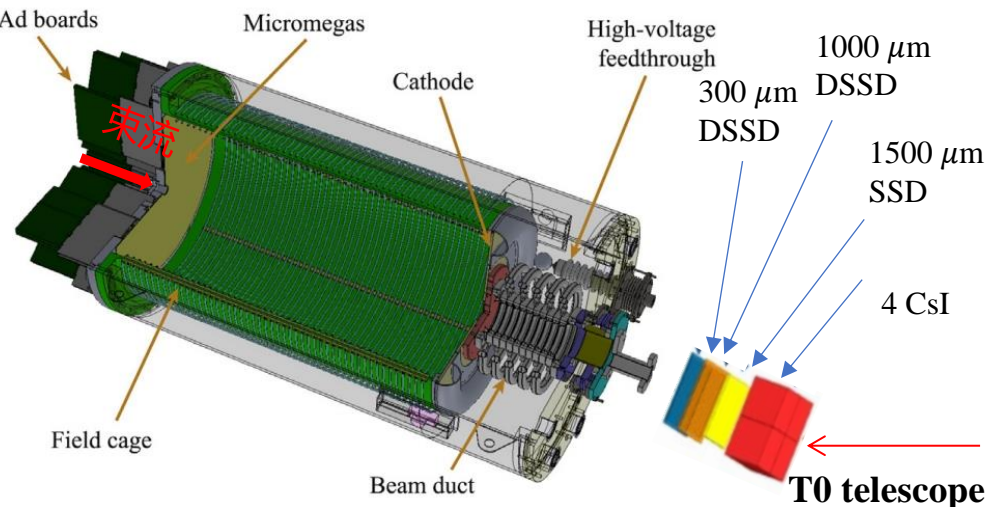
Active Target - Time Projection Chamber



Tanihata, I et. al, Radio-isotope Beams at RCNP(2016).



PhD thesis of Alexander B. Carls



^{12}Be 同核异能态: 0_2^+ 331 ns

E2衰变: **2.11 MeV+0.144 MeV γ ~14%**

通过Q值区分 $^{12}\text{Be}^m(d,p)$ 和 $^{12}\text{Be}^g(d,p)$

电离 漂移 电子倍增 Pad读出

- 三维径迹重建
- 大角度覆盖
- 低探测阈值

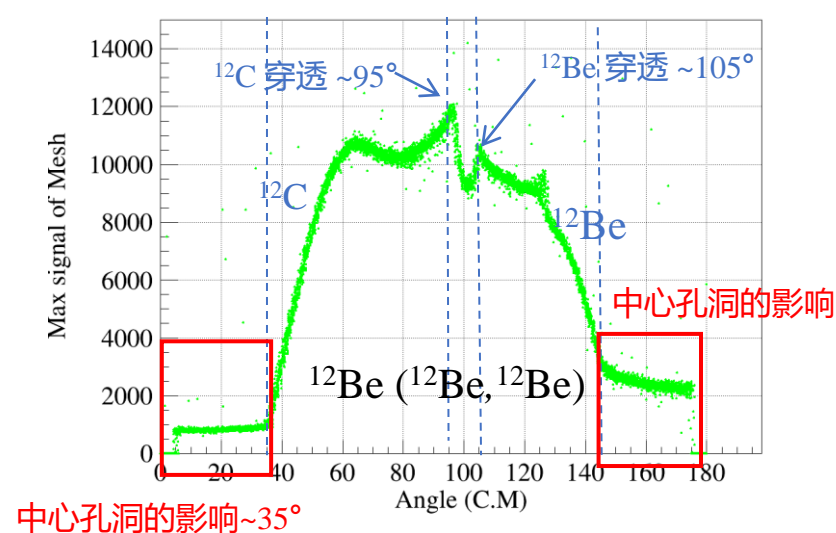
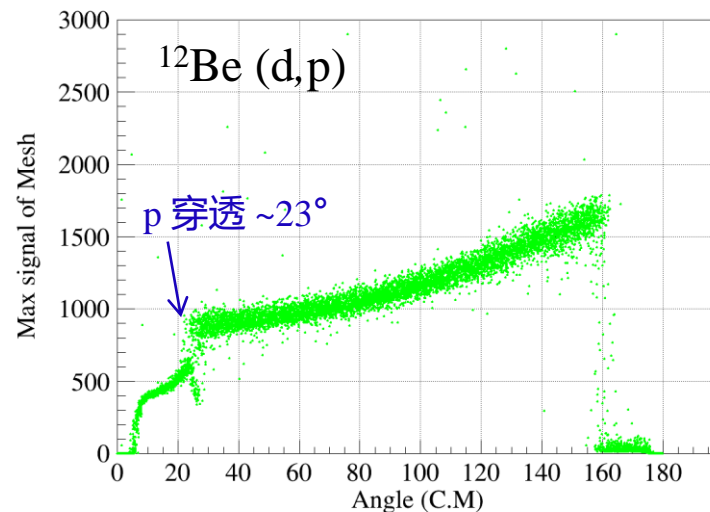
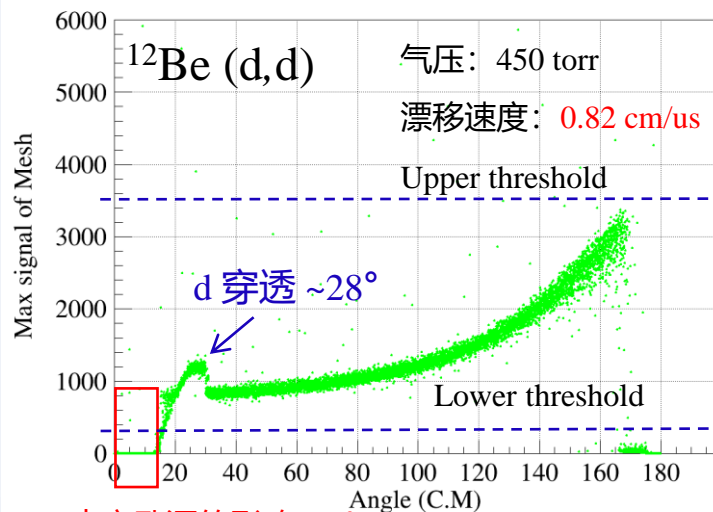
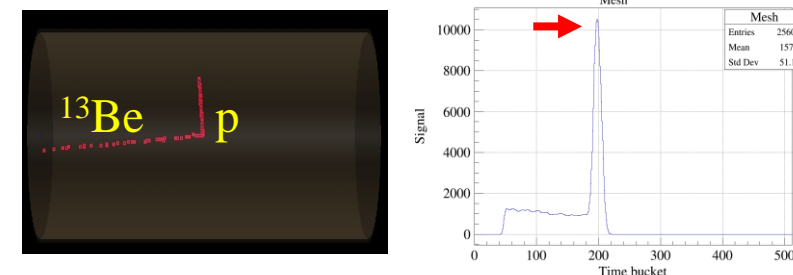
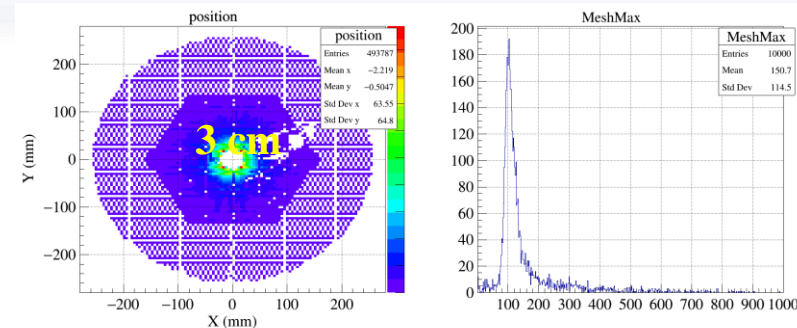
- 初级束: ^{18}O (60 MeV/u)
- 次级束: ^{12}Be (Isomer(2.24 MeV), **18 MeV/u**, $\sim 5 \times 10^3 \text{pps}$)
- 工作气体: C_3D_8
- 气压: **450/500 torr**

➤ 反应道: $^{12}\text{Be} (d, p)$ 、 $^{12}\text{Be}(d, d)$ 、 $^{12}\text{C}(^{12}\text{Be}, ^{12}\text{Be})$

- 反应发生在中心 (18 MeV/u)

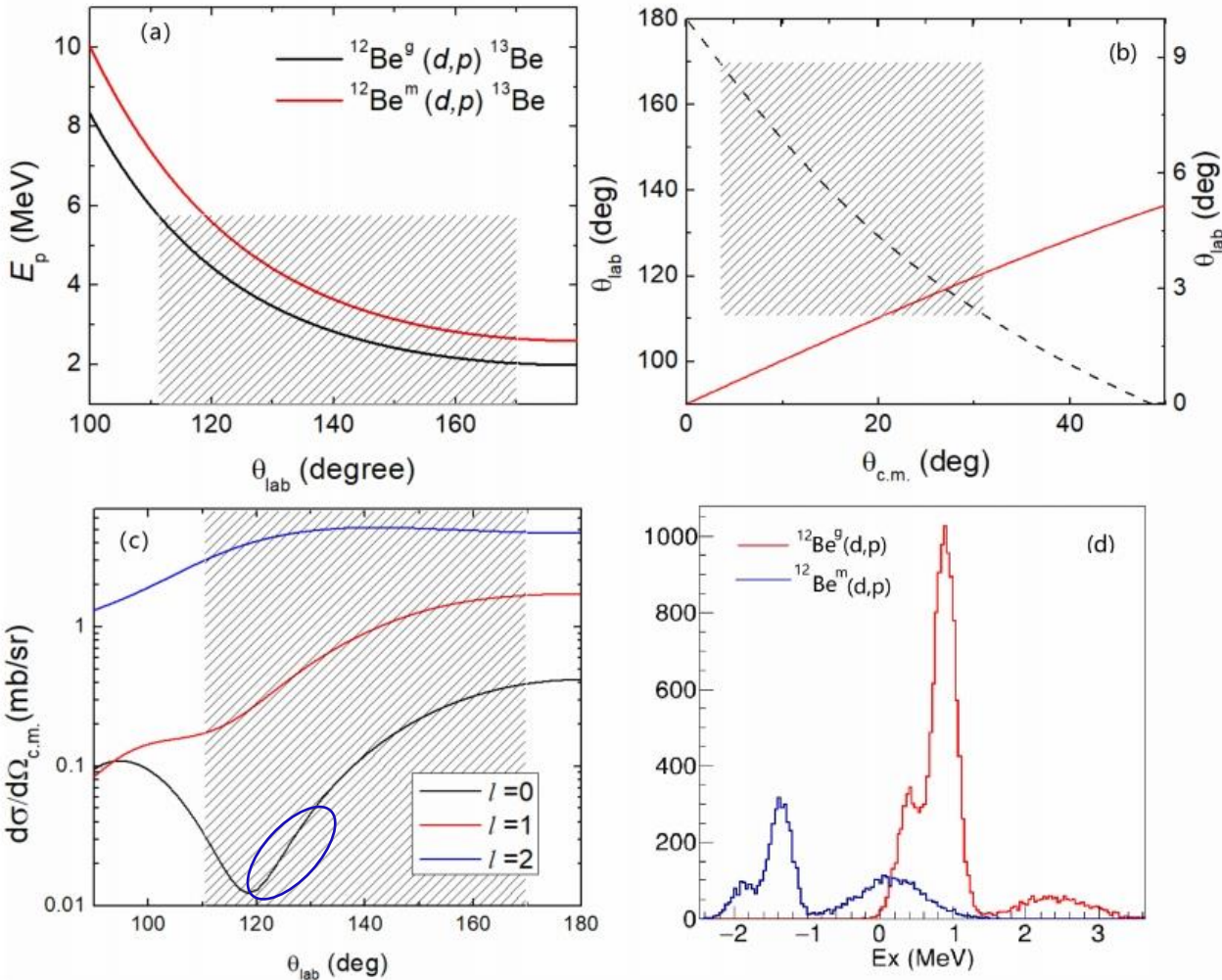
➤ Micromegas 上的信号

- 信号最大值随质心系角度的变化
- 限制上下限阈值



中心孔洞的影响 $\sim 13^\circ$

中心孔洞的影响 $\sim 35^\circ$

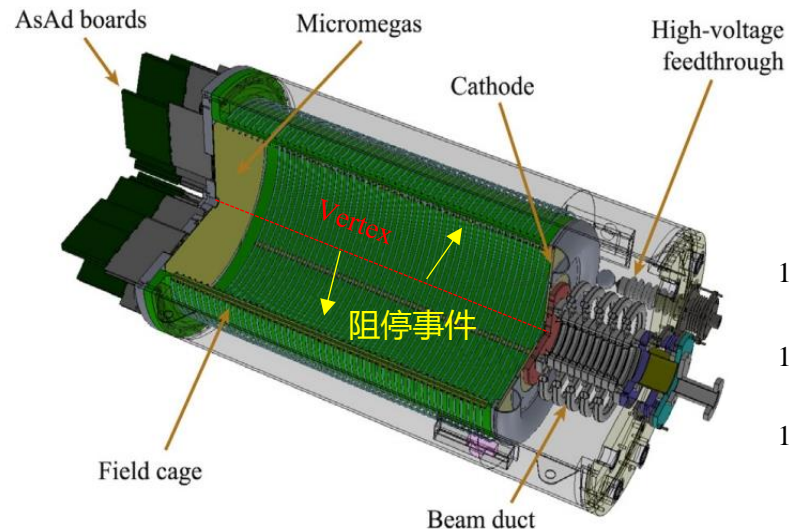


450 torr

Reaction	Min detection angle(C.M)	Max detection angle(C.M)	Max detection angle(Lab)	Max detection energy(MeV/u)	Angle of residual(lab)
d(¹² Be,d) ¹² Be	11.8°	28.4°	75.6°	3.2	3.97°
d(¹² Be,p) ¹³ Be	~0°	22.5°	118.5°	5.0	2.17°
¹² C(¹² Be, ¹² Be) ¹² C	31.5°	95.8°	42.5°	9.6	42.62°

500 torr

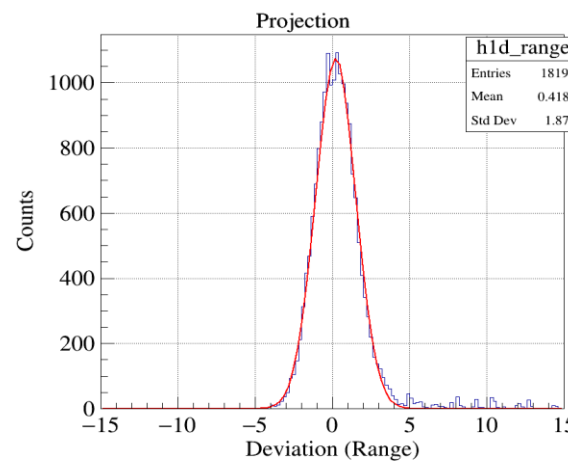
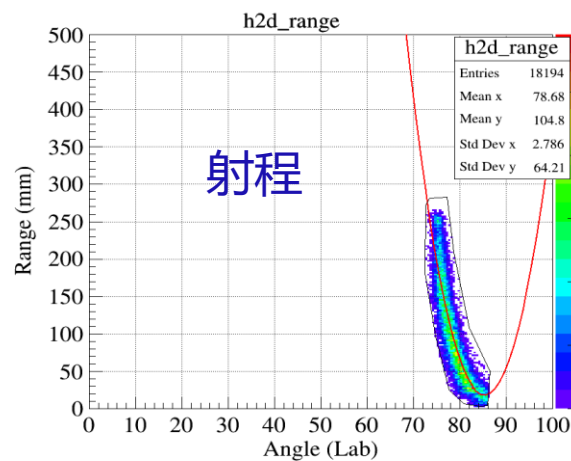
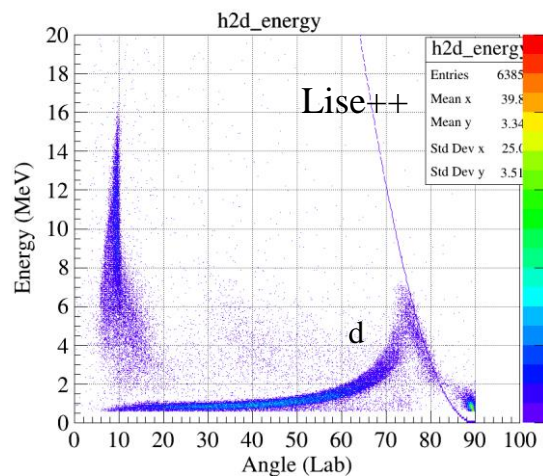
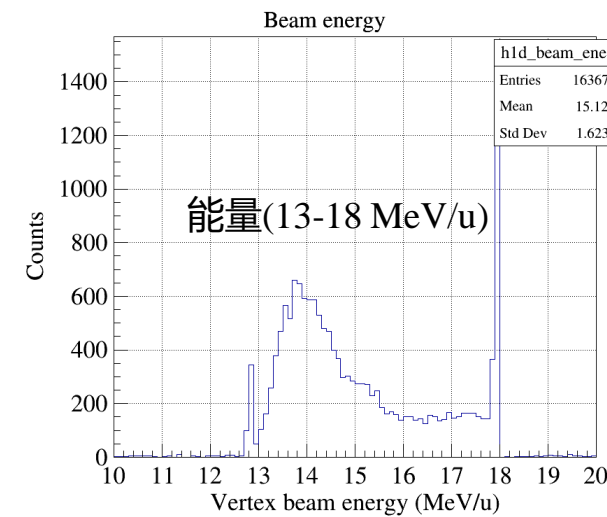
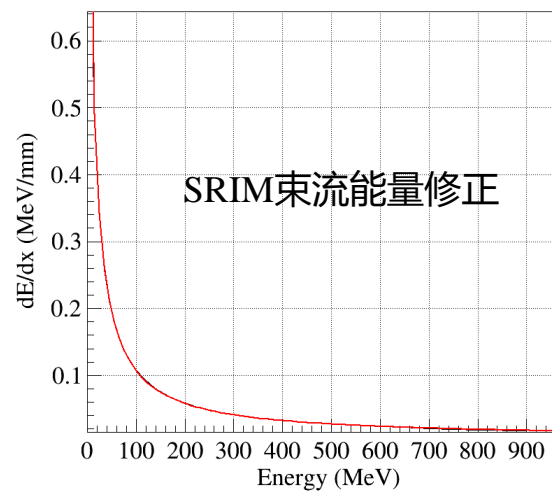
Reaction	Min detection angle(C.M)	Max detection angle(C.M)	Max detection angle(Lab)	Max detection energy(MeV/u)	Angle of residual(lab)
d(¹² Be,d) ¹² Be	12.2°	29.3°	75.1°	3.4	4.08°
d(¹² Be,p) ¹³ Be	~0°	23.6°	116.6°	5.3	2.26°
¹² C(¹² Be, ¹² Be) ¹² C	32.8°	97.3°	41.1°	10.2	41.3°



$^{12}\text{Be}(d, p)$

$^{12}\text{Be}(d, d)$

$^{12}\text{Be}(\alpha, \alpha)$



$$R = aE^b$$

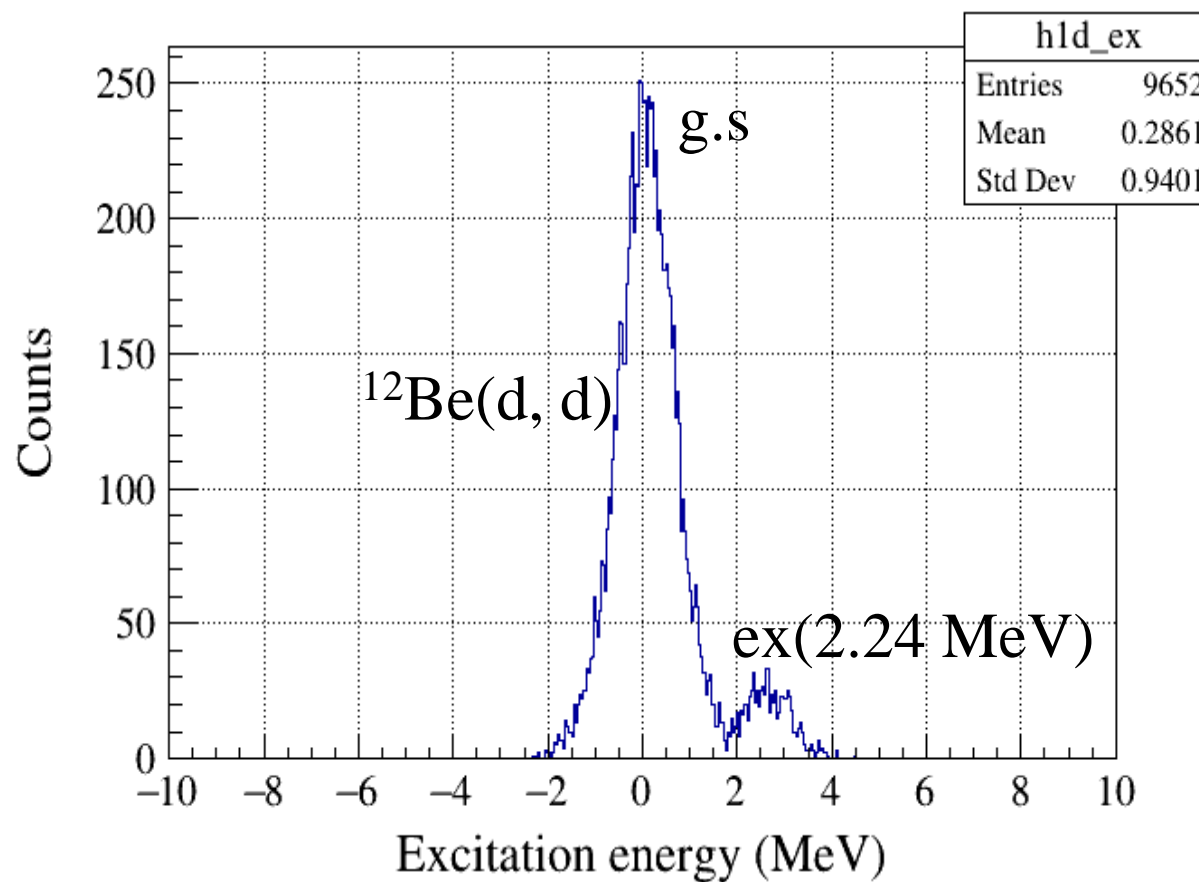
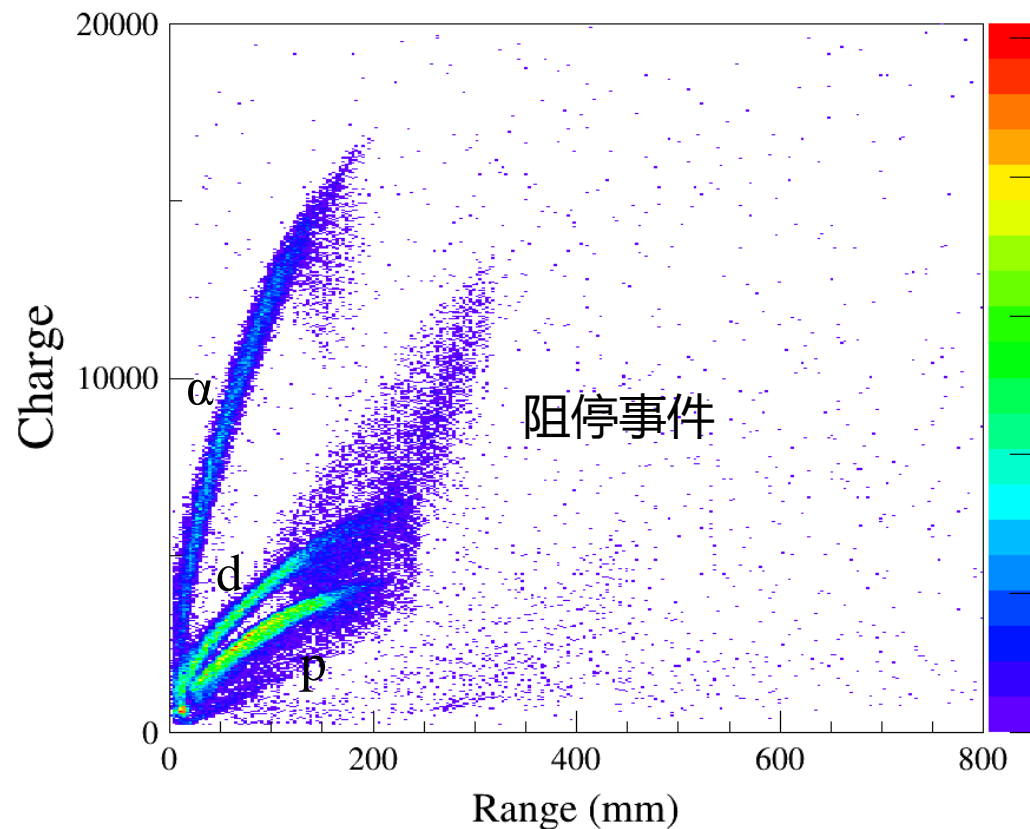
$$Q = \frac{E}{W_e} \cdot G$$

- 考虑反应中阻停事件
- 电荷、射程 ➡ 能量
- 能量分辨率约600 keV(σ)



能够很好地区分d和p

激发能分辨率极限: 1.5 MeV



- $^{12}\text{Be} (d, p)^{13}\text{Be}$ 将帮助厘清非束缚核 ^{13}Be 的激发态信息
- 使用ATTPCROOT模拟了主要反应道的触发
- 模拟得到AT-TPC能量分辨率约为600 keV

下一步计划

- 更准确的射程-能量转换关系，优化PID
- 零度硅探测器的模拟
- 更真实的条件进行模拟
- ...



南方科技大学
SOUTHERN UNIVERSITY OF SCIENCE AND TECHNOLOGY

谢 谢

